

# اکتشاف آب زیرزمینی کارستی با استفاده از توموگرافی مقاومت ویژه الکتریکی و سنجش از دور، شمال شرق خوزستان

لیلا میرزاپی<sup>۱</sup>، محمد کاظم حفیظی<sup>۲\*</sup> و محمدعلی ریاحی<sup>۲</sup>

۱. دانشجویی کارشناسی ارشد، گروه فیزیک زمین، مؤسسه زمین‌فیزیک، دانشگاه تهران، تهران، ایران

۲. استاد، گروه فیزیک زمین، مؤسسه زمین‌فیزیک، دانشگاه تهران، تهران، ایران

(دریافت: ۹۸/۱۰/۱۸، پذیرش نهایی: ۹۹/۳/۲۰)

## چکیده

با توجه به رشد سریع جمعیت و تغییرات اقلیمی انتظار می‌رود در آینده نزدیک منابع آب زیرزمینی به طور فراینده‌ای جهت تأمین آب شرب مورد استفاده قرار گیرند. روش‌های مقرن به صرفه و کارآمد برای اکتشاف آب‌های زیرزمینی به ویژه در مناطق آهکی می‌توانند به عنوان ابزاری مناسب جهت شناخت پتانسیل هیدرولوژی کارستی به کار گرفته شوند. این مقاله روش اکتشافی مبتنی بر سنجش از دور و GIS را به منظور شناسایی نواحی با پتانسیل بالا آب زیرزمینی و توموگرافی ژئوالکتریک را به منظور تعیین محل دقیق حفاری چاه‌های آب ارایه می‌دهد. در این مطالعه یک مدل هیدرولوژیکی شامل لایه‌های مؤثر بر هیدرولوژی کارست، برای تشخیص مناطق با پتانسیل آب زیرزمینی زیاد در کارست ایذه، شمال شرق خوزستان، به کار گرفته شد. سنجش از دور همراه با GIS برای تلفیق لایه‌های فاصله از منطقه تخلیه، اختلاف تراز ارتفاعی، چگالی شکستگی‌ها، شبب، و چگالی تقاطع شکستگی‌ها به کار گرفته شد. وزن پارامترهای مدل براساس اهمیت آنها بر هیدرولوژی کارست بین ۱ تا ۵ تعیین شد. به منظور تعیین محل دقیق نقاط مناسب حفاری در مناطق با پتانسیل زیاد، عملیات داده برداری ژئوالکتریک در دو پروفیل با آرایه دوقطبی-دوقطبی انجام، و سپس توموگرافی مقاومت ویژه الکتریکی دوبعدی در مناطق انجام شد. براساس نتایج توموگرافی ژئوالکتریک در آهک آسماری ایذه، مقاومت ویژه الکتریکی (بین ۱۰۰۰ تا ۱۱۰۰ اهمتر) بیانگر آهک خشک می‌باشد که در هنگام وجود آب در آنها مقاومت ویژه الکتریکی (تا حدود ۱۵۰-۵۰ اهمتر) کاهش می‌یابد. حفرات خشک با بی‌هنجاری مقاومت ویژه الکتریکی در پروفیل جاموشی با مقاومت ویژه الکتریکی حدود ۴۰۰ اهمتر و در سایت غرب ایذه با مقاومت ویژه الکتریکی سیار زیاد (۱۵۰۰ تا بیش از ۲۰۰۰ اهمتر) در زمینه آهکی قابل تشخیص است. لایه‌های مارنی و آهک مارنی با نفوذپذیری کم، می‌توانند با مقاومت ویژه الکتریکی بسیار کم (کمتر از ۲۰ اهمتر) از لایه‌های آهک آب دار (حدود ۱۰۰ تا ۲۰۰ اهمتر) تشخیص داده شوند. حفاری یک حلقه چاه آهکی با آبدهی زیاد (۶۱ لیتر در ثانیه) و افت کم (۴۸/۰ متر) در پاییز ۱۳۹۸ در کارست غرب ایذه نمایانگر کارآیی تلفیق روش‌های اکتشافی به کار گرفته شده می‌باشد.

**واژه‌های کلیدی:** اکتشاف آب زیرزمینی، کارست، توموگرافی مقاومت ویژه الکتریکی، سنجش از دور، خوزستان.

## ۱. مقدمه

ابزاری مهم برای توسعه سیستماتیک و برنامه‌ریزی منابع آب در نظر گرفته می‌شود (الیه، ۲۰۱۵). تاکنون بیش از ۲۰۰ مقاله در مجلات معتبر بین‌المللی در ارتباط با پتانسیل‌یابی آب زیرزمینی انجام شده است (دیاز-الکید و مارتینز-سانتوز، ۲۰۱۹). در این مقالات بیش از ۲۰ معیار مختلف در ارتباط با پتانسیل آب زیرزمینی مورد استفاده قرار گرفته که در اغلب آنها هشت معیار شامل زمین‌شناسی، خطواره، زمین‌ریخت، خاک، پوشش زمین، بارش، چگالی زه‌کشی، و شبب مورد استفاده قرار گرفته است. روش‌های جدید با استفاده از تصاویر ماهواره‌ای شاخص‌های پوشش گیاهی، تبخیر و تعرق، رطوبت خاک

با توجه به بحران آب در چند دهه اخیر، آینده‌نگری در جهت یافتن راه حل‌هایی برای مقابله با این مسئله حیاتی، یک امر مهم به شمار می‌آید. تأمین آب از توده‌های کارستی و سازنده‌های سخت به علت داشتن کیفیت خوب و حجم بالایی از آب به عنوان یک منبع غنی می‌تواند راه کار مناسبی برای مقابله با این مسئله باشد. تأمین آب شرب از آب‌های زیرزمینی گزینه اساسی در نواحی خشک و نیمه‌خشک، در جایی که خشک‌سالی‌ها متداول می‌باشند و منابع آب سطحی اغلب در دسترس نمی‌باشند، می‌باشد (لاماس و مارتینز-سانتوز، ۲۰۰۵).

پهن‌بندی پتانسیل یا نقشه‌برداری آب زیرزمینی به عنوان

ژئوالکتریکی تعیین توزیع مقاومت‌ویژه زیرسطحی می‌باشد. آرایه‌های متفاوتی برای این روش تاکنون پیشنهاد و مورد استفاده قرار گرفته که در این میان آرایه متقارن شلومبرژ (Schlumberger array) و آرایه دوقطبی-دوقطبی (Dipole-Dipole) در مناطق آهکی کارابی پیشتری نشان داده است (ژو و همکاران، ۲۰۰۰؛ چالیکایس و همکاران، ۲۰۱۱؛ متولی و همکاران، ۲۰۱۲؛ رولیا و سوتینگنسی، ۲۰۱۸). این روش‌ها در پهنه‌های کارستی جهت تفکیک بین بخش‌های لیتوولوژیکی و تعیین خصوصیات آنها و همچنین تعیین عمق کارست‌شدنگی شدید رسویات کربناته کاربرد دارد.

در سال‌های اخیر پیشرفت‌های بسیاری در برنامه‌های کامپیوتری اکتشاف داده‌ها و روش‌های وارون‌سازی (Inversion) دو و سه‌بعدی داده‌های ژئوفیزیکی صورت گرفته است. به طوری که تصویرسازی (Imaging) یا توموگرافی مقاومت‌ویژه (Electrical resistivity) یا توموگرافی tomography or ERT) به طور فرایندهای در اکتشاف الکتریکی مناطق کارستی همراه با حفرات زیرسطحی آب‌دار، رس دار و بدون آب و رس به کار گرفته می‌شود (لوک و بارکر، ۱۹۹۵؛ داهلین، ۱۹۹۶؛ اولدنبرگ و لی، ۱۹۹۹؛ سامانواک و الینج، ۲۰۰۷).

با استفاده از مقاطع الکتریکی حاصل از وارون‌سازی داده‌های مقاومت‌ویژه الکتریکی و تفسیر آنها می‌توان پتانسیل آب‌زیرزمینی (الیل و همکاران، ۲۰۱۰)، عمق سنگ کف، عمق برخورد به آب و ضخامت آبخوان (گوپتا و همکاران، ۲۰۱۵)، تفکیک ساختارهای کارستی و فروچاله‌های آب‌دار از خشک، شناسایی مناطق گسلی و خردشده (ساری‌بوداک و هاوکینز، ۲۰۱۹)، و ناهنجاری‌های کارستی (بهارتی، ۲۰۱۶؛ پرینس و همکاران، ۲۰۱۸) را شناسایی کرد. در سالیان اخیر استفاده از توموگرافی مقاومت‌ویژه الکتریکی با آرایه‌های مختلف در ایران توسط محققین مختلف انجام شده است (حفیظی و رادان، ۱۳۸۶؛ ملامحمدی‌زاده و قربانی، ۱۳۹۱؛ اسدی و همکاران، ۱۳۹۸).

و ناهنجارهای حرارتی را استخراج کرده و مورد استفاده قرار داده‌اند. تلفیق داده‌ها عموماً از طریق قضایت کارشناسی و تا حد کمتر توسط فنون یادگیری ماشین (Machine-learning techniques) انجام می‌شود. در حالی که تحقیقات در ارتباط با پتانسیل آب‌زیرزمینی از سال‌های قبل انجام شده است (ساندر و همکاران، ۱۹۹۶؛ جایسوال و همکاران، ۲۰۰۳؛ پارسید و همکاران، ۲۰۰۸)، با این حال بیش از ۵۰ درصد مقالات منتشرشده در این ارتباط مربوط به سال ۲۰۱۲ به بعد می‌باشند. اکثر این مطالعات موردي در خاورمیانه، آفریقا، و آسیای جنوبی انجام شده است. براساس مرور این تحقیقات مشخص شده که ۲۲ درصد آنها در حوضه‌های روسی، ۴۲ درصد در نواحی سنگ آذرین، و ۳۶ درصد در محیط‌های زمین‌شناسی مختلط انجام شده که از لحاظ اقلیمی بیش از ۹۵ درصد این مطالعات نیز در نواحی خشک و نیمه‌خشک انجام شده است (دیاز-الکید و مارتینز-سانتوز، ۲۰۱۹). فنون سنجش از دور (RS) و GIS کاربرد زیادی در تعیین پتانسیل آب‌زیرزمینی دارند. تصاویر ماهواره‌ای و سنسورهای هوایی می‌توانند اطلاعات بالارزشی در ارتباط با متغیرها و فرآیندهای هیدرولوژیک به‌ویژه با تلفیق با دیگر معیارها در محیط GIS به دست دهند (پارسید و همکاران، ۲۰۰۸؛ محمدی و همکاران، ۲۰۱۴؛ اویکونومیدیس و همکاران، ۲۰۱۵؛ پناهی و همکاران، ۲۰۱۷؛ پارکس و همکاران، ۲۰۱۷؛ پاترا و همکاران، ۲۰۱۸).

جهت پی‌بردن به خصوصیات هیدرولوژیکی مناطق زیر سطح زمین و تشخیص بهترین نقطه جهت حفاری چاه‌ها در توده‌های کارستی و سازندهای سخت عموماً مطالعات ژئوفیزیکی به روش مقاومت‌ویژه انجام می‌شود. در این روش توزیع و تغییر شکل میدان‌های الکتریکی در یک توده سنگ توسط ورود یک جریان مصنوعی از طریق الکترودهای فرستنده ارزیابی می‌شود. جریان در توده سنگ‌ها به‌علت اختلاف پتانسیل بین نقاط ورودی جریان برقرار می‌شود. هدف اندازه‌گیری مقاومت‌ویژه

(۱۳۹۸).

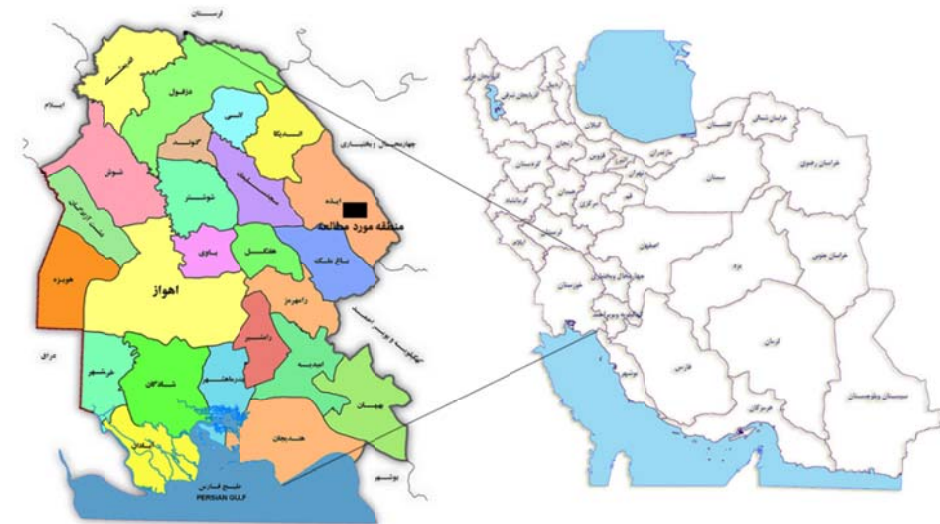
دشت ایذه از لحاظ زمین‌شناسی در ناحیه زاگرس چین‌خورده یا زاگرس خارجی قرار می‌گیرد. دشت مذکور در داخل ناویدیس بسته‌ای با محور شمال غربی-جنوب شرقی قرار دارد. دماغه جنوبی ناویدیس به صورت نعل اسی است که دریاچه آب بندان را محصور کرده است. سازندهای زمین‌شناسی که در منطقه مورد مطالعه رخنمون دارند مربوط به کرتاسه زیرین تا عهد حاضر می‌باشند (شکل ۲). سازندهای آهکی ایلام-سروک قدیمی ترین سنگ‌های بیرون‌زده در منطقه هستند که بر روی آن سازند شیلی گورپی، سازند مارنی پابده، سازند آهکی آسماری، و آبرفت‌های عهد حاضر به ترتیب قدمت قرار گرفته‌اند. گسترش پدیده‌های انحلالی در اعماق لایه‌های آهکی تاقدیس آسماری احتمالاً باعث ایجاد حفرات و مجاری وسیع شده و مخزن عظیم آب کارستی را به وجود آورده است. سیستم‌های درز و شکاف و سیماهای کارستی نظیر چاهک، غار و کارن در این سازند گسترش دارند. مهم‌ترین عارضه چین‌خوردگی در منطقه مورد مطالعه، ناویدیس نعل اسب مانند سازند آسماری می‌باشد (شکل ۲). این سیما در حقیقت ناویدیس پلاتر داری با شب بسته شمال غرب می‌باشد. این ناویدیس، مخزن اصلی آبخوان کارستی می‌باشد. مساحت رخنمون سازند آسماری در این ناویدیس حدود ۲۰ کیلومتر مربع می‌باشد.

حفاری‌های اکتشافی و چاههای بهره‌برداری در یال‌های سیمای نعل اسی نمایانگر وجود آبخوانی با قابلیت آبدهی بالا در این سیما می‌باشد. کل عمق چاههای موردنظر در سازند آسماری می‌باشد و از آب ذخیره‌شده در خلل و فرج و شکستگی‌ها و مجاری این سازند برداشت می‌شود. تعداد ۱۱ حلقه چاه با دبی ۳۰ الی ۵۰ لیتر بر ثانیه (بر اساس اطلاعات جمع‌آوری شده در سال آبی ۱۳۹۷-۹۸) که تأمین آب شرب شهر ایذه و روستاهای حومه از آنها صورت می‌گیرد، در سازند آسماری و در سیمای نعل اسی حفر شده‌اند.

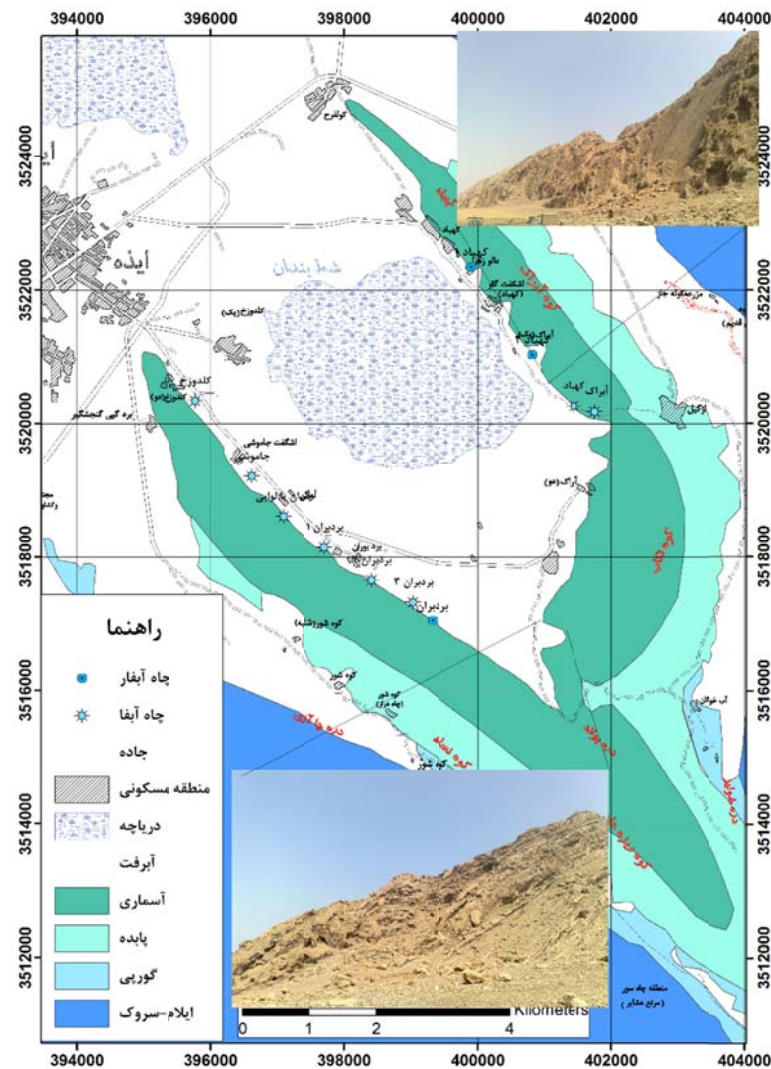
شهرستان ایذه در شمال شرق استان خوزستان قرار دارد. با کاهش بارندگی در سال‌های اخیر، بروز خشکسالی شدت بیشتری گرفته و به دنبال آن خلیل از شهرهای ایران از جمله شهرستان ایذه با بحران جدی آب مواجه شده‌اند. در حال حاضر آب زیرزمینی منع اصلی تأمین کننده آب این شهرمی باشد که به علت خشکسالی‌های اخیر و استحصال بی‌رویه، سطح ایستابی آبخوان آبرفتی افت پیدا کرده به طوری که تعداد زیادی از چاههای عمیق و نیمه عمیق بخش کشاورزی و شرب با کاهش شدید آبدهی مواجه شده‌اند.

طی دو دهه اخیر در آهک‌های سازند آسماری در مناطق مختلف ایذه چاههای آهکی جهت تأمین آب شرب ایذه حفاری شده‌اند. از سال ۱۳۹۴ آبدهی بعضی چاههای آهکی ایذه در سازند آسماری کاهش پیدا کرده و حفر چاههای جدید و جایگزین با عمق بیشتر ضرورت پیدا کرده است. با این حال در طی سالیان اخیر عدم به کارگیری مطالعات مناسب منجر به حفاری ناموفق چاههای آب و هدر رفتن هزینه شده است. بر این اساس مطالعات پتانسیل‌بایی آب زیرزمینی با استفاده از تکنیک سنجش از دور و مدل‌سازی آب زیرزمینی کارستی ایذه در محیط GIS به منظور شناخت نواحی با پتانسیل زیاد آب زیرزمینی به کار گرفته شد و سپس با انجام مطالعات ژئوالکتریک به روش مقاومت ویژه و توموگرافی مقاومت ویژه الکتریکی نسبت به تعیین محل دقیق چاههای آب اقدام شد.

در این مقاله سازند آهکی آسماری ایذه در ناویدیس نعل اسی و تاقدیس چال خشک به عنوان سایت هدف جهت اکتشاف آب زیرزمینی کارستی مورد بررسی قرار گرفته است. شهر ایذه از نظر جغرافیایی در ۴۹ درجه و ۵۰ دقیقه تا ۵۰ درجه طول شرقی و ۳۱ درجه و ۴۵ دقیقه تا ۳۱ درجه و ۵۰ دقیقه عرض شمالی واقع شده است (شکل ۱). بارش سالانه میانگین ایذه بر اساس اطلاعات و آمار سازمان آب و برق خوزستان در طی دوره ۱۳۸۴ ساله ۱۳۹۷ برابر ۵۵۰ میلی‌متر می‌باشد (کلاتری و همکاران،



شکل ۱. موقعیت منطقه مورد مطالعه.



شکل ۲. نقشه زمین‌شناسی منطقه مورد مطالعه (سیستم مختصات UTM-WGS84- Zone39).

(decision models) در GIS استفاده می‌شود (مالکریفسکی، ۲۰۰۰). این روش برای تحلیل‌های کاربری اراضی و آمایش زمین، انتخاب سایت، و مسایل ارزیابی منابع مورد استفاده قرار می‌گیرد (هرزفلد و مریان، ۱۹۹۵؛ لوری و همکاران، ۱۹۹۵). دلیل اصلی محبوبیت این روش، کاربرد آسان آن در محیط GIS با استفاده از عملگر Map algebra و مدل‌سازی کارتوگرافیک می‌باشد (بری، ۱۹۹۳). روش GIS/WLC شامل مراحل زیر است (مالکریفسکی، ۲۰۰۰): ۱) تعریف مجموعه لایه‌های اطلاعاتی مؤثر بر هدف و تهیه آنها؛ ۲) تهیه لایه‌های معیار با نرخ‌بندی آنها؛ ۳) تعیین وزن‌های معیار (وزن‌ها به صورت اهمیت نسبی هر معیار بر تابع هدف تعیین می‌شوند)؛ ۴) ترکیب لایه‌های معیار با ضرب کردن وزن در لایه‌ها و جمع کردن آنها، ۵) رتبه‌بندی نقشه نهایی. تکنیک همپوشانی (Overlay technique) در محیط GIS می‌تواند لایه‌های معیار را به‌منظور حصول نقشه ترکیبی (نقشه خروجی) تلفیق نماید.

با توجه به آن که هدف اصلی تنها یک سازند، یعنی سازند آهکی آسماری می‌باشد بنابراین در مدل مذکور از لایه مهم لیتولوزی صرف نظر شده است. عامل تراز ارتفاعی به علت این که حرکت آب در داخل درزه‌ها تحت تأثیر نیروی ثقل بوده و جهت جريان آبزیرزمینی همیشه از تراز انرژی بالا به تراز انرژی پایین تر رخ می‌دهد، اهمیت دارد. مکان‌هایی با تراز ارتفاعی پایین نسبت به اطراف به عنوان محل‌های مناسب برای تجمع آبزیرزمینی و تشکیل مخزن درنظر گرفته شده و به مناطق با تراز ارتفاع کمتر امتیاز بیشتری اختصاص یافته است. با بررسی‌های انجام‌شده در تاقدیس‌های خوزستان استنباط شده است که شبیه‌های بیشتر، تأثیر مثبت در پتانسیل آبزیرزمینی کارست دارند، زیرا لایه‌های پرشیب بیشتر تکتونیزه شده‌اند و در نتیجه شدت کارست شدگی در آنها بالاتر است. عامل‌های در ارتباط با شکستگی‌ها به طور قابل ملاحظه‌ای بر روی هیدرولوزی سنگ‌های آهکی تأثیر می‌گذارند در این مقاله برای تهیه لایه‌های مرتبط با

## ۲. روش پژوهش

در این مقاله، پتانسیل‌بایی آبزیرزمینی با استفاده از تکنیک سنجش از دور و مدل‌سازی آبزیرزمینی کارستی ایذه در محیط GIS به‌منظور شناخت نواحی با پتانسیل زیاد آبزیرزمینی به کار گرفته شد و سپس با انجام مطالعات ژئوالکتریک به‌روش مقاومت‌ویژه و توموگرافی مقاومت‌ویژه الکتریکی نسبت به تعیین محل دقیق چاهه‌ای آب اقدام شد.

با توجه به شرایط خاص هیدرولوزی کارست ایذه و اطلاعات در دسترس، پنج عامل اصلی مؤثر بر پتانسیل آب کارستی مورد تحلیل مکانی واقع شده است. پنج پارامتر معیار به کار گرفته شده در مدل، شامل فاصله از محل تخلیه، تراز ارتفاعی، چگالی طول شکستگی‌ها، چگالی تقاطع شکستگی‌ها، و شب تپوگرافی می‌باشند. در این راستا اطلاعات مورد نیاز با استفاده از منابع داده‌های مختلف و با فرمتهای گوناگون جمع‌آوری شده و به محیط GIS وارد شد، سپس جهت تهیه نقشه نهایی پتانسیل آبزیرزمینی ابتدا با توجه به مقالات مختلف (محمدی و همکاران، ۲۰۱۴) و با استفاده از تابع طبقه‌بندی مجدد هریک از این پنج عامل (نقشه‌های معیار) در محدوده ارزش‌های ۱ تا ۱۰ نرخ‌بندی شدند. سپس این لایه‌ها به‌روش قضاوat کارشناسی بر اساس مقالات موجود (محمدی بهزاد و همکاران، ۲۰۱۸؛ آبرامز و همکاران، ۲۰۱۸) وزن‌دهی و تلفیق شدند. در این تحقیق برای تلفیق نقشه‌های معیار، از مدل همپوشانی خطی وزنی با توجه به وزن معیارها و کلاس‌های مربوط به هریک از آنها استفاده شده است. در نهایت نقشه پتانسیل آبزیرزمینی منطقه Weighted تهیه شده است. روش همپوشانی خطی وزنی (linear combination or WLC) رایج‌ترین روش در تحلیل ارزیابی چندمعیاری است. این تکنیک، روش امتیازدهی نیز نامیده می‌شود. این روش بر مبنای مفهوم میانگین وزنی استوار است. روش WLC یک روش تصمیم‌گیری برای حصول نقشه‌های ترکیبی با استفاده از GIS می‌باشد که اغلب با مدل‌های تصمیم‌گیری

واحدهای زمین‌شناسی، مجراهایی با نفوذپذیری بالا جهت عبور آب و حرکت آن به نقاط پایین‌تر درون زمین ایجاد می‌شود و این محل‌ها نقاطی هستند که اهمیت آنها در پتانسیل آب‌زیرزمینی سازندهای سخت و آهکی بیشتر می‌باشد. امتیازدھی لایه‌های اطلاعاتی در جدول ۱ ارایه شده است.

پنج لایه معیار تهیه شده براساس اهمیت آنها در پتانسیل آب‌زیرزمینی وزن‌های ۱ تا ۵ داده شده و با یکدیگر تلفیق شدند. براساس قضاوت کارشناسی مبنی بر تجربیات پیشین و مقالات محققین دیگر، وزن‌ها از ۵ تا ۱ به ترتیب برای اختلاف ارتفاع با محل تخلیه، فاصله از محل تخلیه، چگالی تقاطع شکستگی‌ها، چگالی طول شکستگی‌ها، و شبی اعمال شد و بهروش هم‌پوشانی شاخص تلفیق شد (جدول ۱).

شکستگی‌ها، ابتدا شکستگی‌های احتمالی با بازبینی بصری تصویر ماهواره ایکونوس منطقه استخراج می‌شد. البته استخراج خطواره‌ها (شکستگی‌ها) بایستی بر اساس شرایط منطقه و شناخت خصوصیات ساختاری آن صورت بگیرد. در این تحقیق برای کاهش خطأ و بالا بردن دقیقت کار شکستگی‌ها به صورت دستی (بصری) از روی تصویر ماهواره‌ای ایکونوس و با کمک افزونه Arcbrutile در ArcGIS استخراج شدند. با توجه به این که شکستگی‌ها در انتقال آب و توسعه کارست، افزایش تخلخل، و افزایش حجم ذخیره آب کارستی، نقش مثبت دارند، بنابراین هرچقدر فاصله از آنها و یا تقاطع آنها کمتر شود میزان پتانسیل آب‌زیرزمینی کارستی بیشتر می‌شود. با توجه به این که در محل تلاقی شکستگی‌ها، به دلیل ایجاد فضاهایی در سازندها و

جدول ۱. نرخ دهی و وزن دهی لایه‌های مورد استفاده جهت پتانسیل‌یابی آب‌زیرزمینی ناودیس نعل اسپی ایذه.

فاصله از محل تخلیه (متر) - وزن: ۲				چگالی طول شکستگی‌ها (کیلومتر بر کیلومتر مربع) - وزن: ۱			
مقدار اصلی	نرخ	مقدار اصلی	نرخ	مقدار اصلی	نرخ	مقدار اصلی	نرخ
۰-۱۲۲۰	۹	۰-۲۲۵	۱	۰-۶	۱		
۲۲۴۰-۱۲۲۰	۸	۲/۲۵-۶/۵	۲	۶-۱۲	۲		
۲۲۴۰-۳۶۶۰	۷	۶/۵-۹/۷۵	۴	۱۲-۱۸	۳		
۳۶۶۰-۴۸۸۰	۶	۹/۷۵-۱۳	۵	۱۸-۲۴	۴		
۴۸۸۰-۶۱۰۰	۵	۱۳-۱۶/۲۵	۷	۲۴-۳۰	۵		
۶۱۰۰-۷۳۲۰	۴	۱۶-۲۵-۱۹/۵	۸	۳۰-۳۶	۶		
۷۳۲۰-۸۵۴۰	۳	۱۹/۵-۲۲/۷۵	۹	۳۶-۴۲	۷		
۸۵۴۰-۹۷۶۰	۲	۲۲/۷۵-۲۶	۱۰	۴۲-۴۸	۸		
۹۷۶۰-۱۰۹۸۰	۱			۴۸-۵۴	۹		
۱۰۹۸۰-۱۲۲۰۰	۰			۵۴-۶۰	۱۰		
چگالی تقاطع شکستگی‌ها تعداد نقطه بر کیلومتر مربع) - وزن: ۳				اختلاف تراز ارتفاعی با محل تخلیه (متر) - وزن: ۵			
مقدار اصلی	نرخ	مقدار اصلی	نرخ	مقدار اصلی	نرخ	مقدار اصلی	نرخ
۰-۹۴	۹	۰-۰/۸۱۵	۱				
۹۴-۱۸۸	۸	۰/۸۱۵-۱/۶۳	۲				
۱۸۸-۲۸۲	۷	۱/۶۳-۲/۴۴۵	۳				
۲۸۲-۳۷۶	۶	۲/۴۴۵-۳/۲۶	۴				
۳۷۶-۴۷۰	۵	۳/۲۶-۴/۰۷۵	۵				
۴۷۰-۵۶۴	۴	۴/۰۷۵-۴/۸۹	۶				
۵۶۴-۶۵۸	۳	۴/۸۹-۵/۷۰۵	۷				
۶۵۸-۷۵۲	۲	۵/۷۰۵-۶/۵۲	۸				
۷۵۲-۸۴۷	۱	۶/۵۲-۷/۳۳۵	۹				
		۷/۳۳۵-۸/۱۵	۱۰				

نرم افزار وارونسازی داده های ژئوالکتریکی Res2DInv تنظیم، و سپس توسط این نرم افزار مورد وارونسازی قرار گرفتند. پارامتر های مورد استفاده برای وارونسازی هر دو مقطع مشابه لحاظ شد و توپوگرافی جهت نرمال کردن ارتفاع توپوگرافی واقعی سطح زمین اعمال شد. بر اساس مزایای ارایه شده در نرم افزار Res2DInv، الگوریتم روبوست (Robust algorithm) برای معکوس سازی انتخاب شد زیرا این الگوریتم تغییرات خالص بیشتری در مقاومت ویژه الکتریکی بین بخش های مختلف مقطع به دست می دهد. به هر حال، در انتخاب مقطع نهایی، به دلیل نامشخص بودن هندسه مرزهای ساختارهای کارستی، تأثیر تغییرات مقاومت ویژه الکتریکی ناشی از سنگ زمینه و اطراف آن می بایست احتیاط لازم صورت گیرد. پس از مدل سازی مقاومت ویژه الکتریکی، خروجی ها به صورت مقاطع عرضی توموگرافی در مدل دو بعدی ERT به دست آمد. سپس با تفسیر آنها مقاطع لیتوژئوالکتریکی تهیه و در نهایت بر اساس نتایج یافته های ژئوالکتریکی دو محل جهت حفاری چاه آب در کارست ایذه پیشنهاد شد.

### ۳. اندازه گیری ها و مشاهدات

جهت پتانسیل یابی آبزیرزمینی در ناویدیس نعل اسبی ایذه، لایه های اطلاعاتی از منابع مختلف استخراج شدند که نقشه های حاصل در شکل ۳ ارایه شده است. دو نقطه انتهایی یال ها به عنوان نقاط تخلیه اصلی سیستم کارست ناویدیس نعل اسبی ایذه در نظر گرفته شد. دو نقطه مذکور در دو یال با توجه به جریان آبزیرزمینی در ناویدیس نعل اسبی که از دماغه پلاتزدار ناویدیس در جنوب شرق در امتداد یال ها به سمت شمال غرب می باشد، انتخاب شد. در مدل رقومی ارتفاعی ناویدیس نعل اسبی، ارتفاع آهک از ۸۳۵ متر در نقاط تخلیه انتهای شمال غربی یال های ناویدیس تا ۱۶۸۲ متر نسبت به سطح دریا متغیر است. با کسر کردن مدل رقومی ارتفاعی (DEM) منطقه از ارتفاع حداقل نقطه تخلیه (۸۳۵ متر)، لایه اختلاف ارتفاع با محل تخلیه تهیه شد. در لایه مذکور ارتفاعات حداقل در

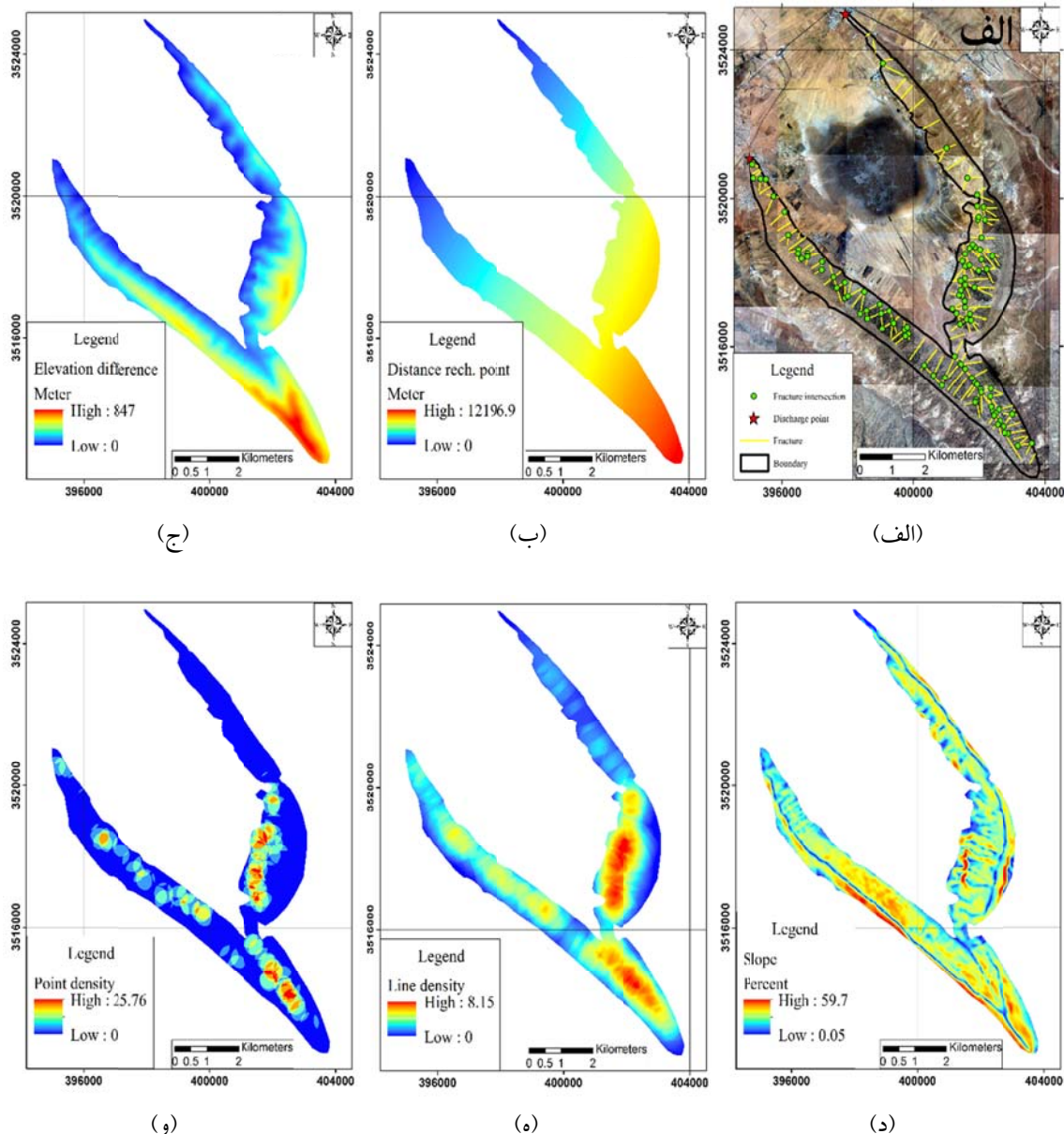
برداشت های ژئوفیزیکی به روش توموگرافی مقاومت ویژه الکتریکی (ERT) دو بعدی در دو پروفیل و با آرایه دوقطبی دوقطبی انجام شد. البته بر اساس نتایج پتانسیل یابی آبزیرزمینی دو پروفیل در ناویدیس نعل اسبی برای انجام مطالعات ژئوالکتریک با آرایه های شلومبرژه و دوقطبی دوقطبی پیشنهاد شد. پس از داده برداری سوندائر های شلومبرژه و با توجه به عدم امکان داده برداری در موقعیت پیشنهادی پروفیل دوقطبی دوقطبی در جنوب ناویدیس نعل اسبی با آهک غرب ایذه جایگزین شد. مدل های ERT به منظور تشخیص و ترسیم شکستگی های اصلی و گسل ها، و حفرات مورد تفسیر قرار گرفتند. بررسی های ژئوالکتریک جهت تشخیص حفرات در بخش های مختلف سازند کارستی آسماری ایذه به منظور تعیین محل های مناسب حفر چاه آب به کار گرفته شده است. دو پروفیل با آرایه دو قطبی دو قطبی (یکی با فاصله ۲۰ متری تا پرش ۱۱ و طول ۳۸۰ متر برای الکترودی ۴۰ متری تا عمق ۶۰ متری و دیگری با فاصله الکترودی ۴۰ متر تا پرش ۱۰ و طول ۶۴۰ متر برای بررسی تا عمق ۱۳۰ متر) به منظور شناخت حفرات و مناطق خردشده با ابعاد متفاوت در مناطق مختلف عمقی کارست داده برداری شده است. داده برداری با استفاده از دستگاه ژئوالکتریک IP-ARES مارک RS با توان فرستنده ۸۵۰ وات ساخت GF Instruments کشور چک انجام شده است. داده های اندازه گیری شده پروفیل های دو بعدی مرتب شده و به شکل شب مقاطع مقاومت ویژه الکترودی منحنی بندی شدند. شب مقاطع مقاومت ویژه الکتریکی ظاهری فقط دید عمومی از توزیع مقاومت ویژه زیر سطحی به دست می دهد و به دلیل هموار شدگی داده ها، تغییرات شدید مقاومت ویژه الکتریکی سنگ ها و تأثیر آرایه الکترودی بر اندازه گیری مقادیر مقاومت ویژه ظاهری، نمی توانند تصویر واضحی از زیرزمین به دست دهند. بنابراین به منظور ارایه بهتر و واقعی تر توزیع مقاومت ویژه الکتریکی زیر سطحی، می بایست روی داده های ژئوالکتریکی مدل سازی وارون انجام شود. بدین منظور داده های ژئوالکتریکی به فرمت ورودی

دیگری در محل بسته شدن ناودیس رخ داده است. با توجه به آن که پنج لایه معیار دارای واحدهای متفاوتی هستند برای تلفیق آنها نیاز به هم مقیاس سازی می باشد. لایه ها براساس اهمیت آنها بر پتانسیل آب زیرزمینی در ۱۰ گروه طبقه بندی مجدد (Reclassify) شدند (شکل ۴). تراکم بیشتر چگالی تقاطع و طول شکستگی ها و شبیه بیشتر با اهمیت بیشتر نرخ بندی شد. اختلاف ارتفاع کمتر و فاصله کمتر با محل تخلیه با اهمیت بیشتر بر پتانسیل آب زیرزمینی نرخ بندی شد. سپس با استفاده از رابطه زیر تلفیق لایه ها با روش هم پوشانی شاخص انجام شد:

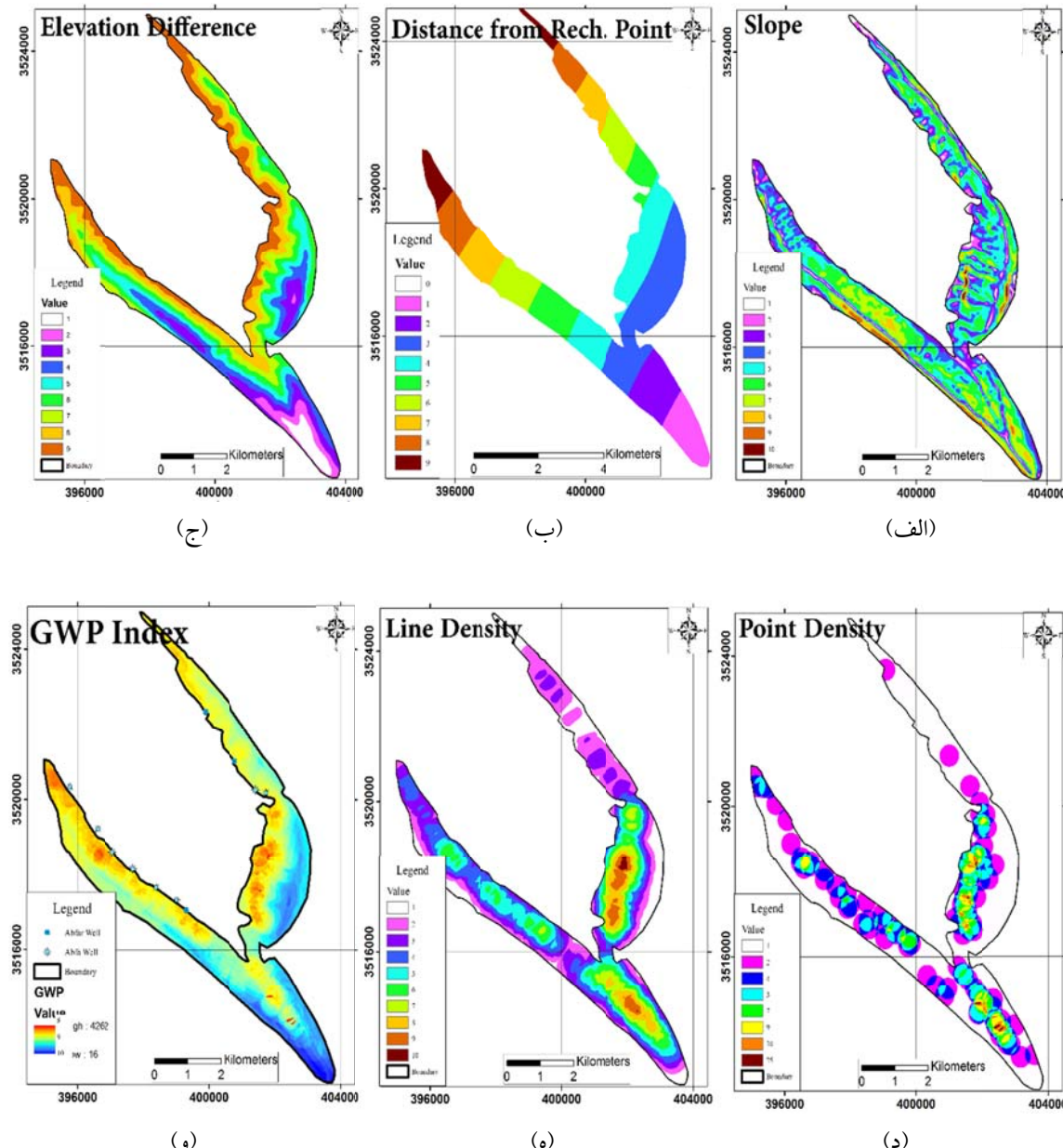
$$\begin{aligned} \text{GWP index} = & \\ (5 * \text{ED}) + (4 * \text{DP}) + (3 * \text{PD}) + & \\ (2 * \text{LD}) + (1 * \text{S}) & (1) \end{aligned}$$

که GWP index شاخص پتانسیل آب زیرزمینی، اختلاف ارتفاع با محل تخلیه، DP فاصله با نقاط تخلیه، PD چگالی تقاطع شکستگی ها، LD چگالی طول شکستگی ها، و S شبیه می باشند. بر اساس رابطه ۱، پتانسیل آب زیرزمینی کارست نعل اسبی ایده محاسبه و در شکل ۴ ارایه شده است. در شکل ۵ نقشه طبقه بندی پتانسیل آب زیرزمینی ارایه شده است. براساس نقشه مذکور مناطق با پتانسیل خیلی زیاد در یال غربی و جنوب شرق ناودیس در امتداد راندگی آبراهه قرار دارند. تمرکز چاههای آهکی آب شرب ایده در یال جنوب غربی نیز مؤید صحبت نتایج پتانسیل یابی می باشند. در ادامه در نقاط با پتانسیل زیاد داده برداری ژئو الکتریک با روش مقاومت ویژه الکتریکی و آرایه شلومبرژه انجام شد. سپس براساس تفسیرهای اولیه دو پروفیل P1 و P3 برای انجام داده برداری با آرایه دوقطبی و تعیین محل دقیق حفاری چاههای آب انتخاب شد (شکل ۴). با توجه به مشکلات موجود در سایت آبراک، واقع در محل با پتانسیل زیاد آب زیرزمینی در جنوب شرق ناودیس نعل اسبی، عملاً امکان داده برداری در سایت P3 وجود نداشت و به جای آن پروفیل P2 در غرب ایده برای مطالعات ژئو الکتریک انتخاب شد.

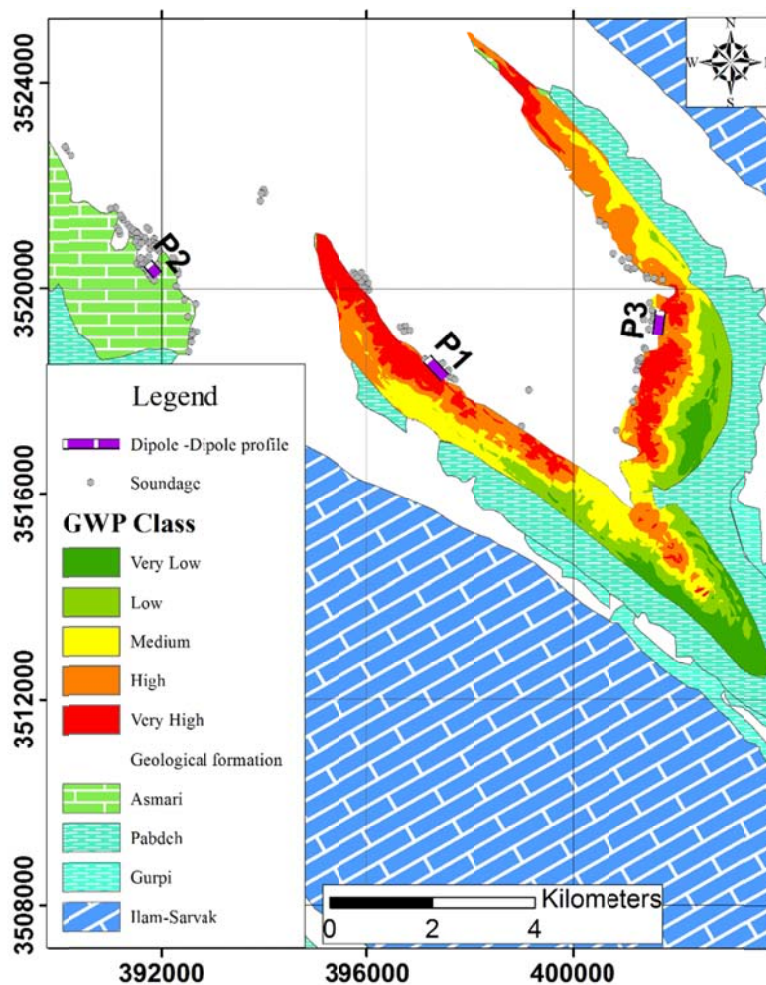
جنوب شرق و در دماغه پلاتزدار ناودیس قرار دارد. لایه شبیه نیز براساس اعمال دستور Slope بر روی DEM در محیط GIS تهیه شد. مقدار شبیه از ۰/۰۰۵ تا حدود ۶۰ درصد متغیر است. مقادیر شبیه حداکثر در امتداد راندگی آبراک در جنوب شرق ناودیس وجود دارد. البته افتادگی پشت آهک آسماری در محل تماس با سازند مارني گوربی در حاشیه بیرونی ناودیس وجود دارد که به لحاظ پتانسیل آب زیرزمینی فاقد اهمیت است. لایه فاصله از محل تخلیه با تعیین نقاط تخلیه در دو انتهای یال های ناودیس و بافر زدن در GIS تهیه شد. حداکثر فاصله از محل های تخلیه، برابر ۱۲/۲ کیلومتر می باشد. نقشه شکستگی با استفاده از تصویر ایکونوس و اعمال الگوریتم Lineament Extraction تهیه شد. این الگوریتم مربوط به نرم افزار PCI Geomatica می باشد و انواع عوارض خطی از جمله شکستگی ها را از روی یک باند استخراج می کند و نتیجه را به صورت یک فایل وکتور در اختیار کاربر قرار می دهد. خطواره های استخراج شده اتوماتیک، شامل ساختارهای دست ساز بشر مانند جاده ها و کانال ها و یا ساختارهای طبیعی مانند گسل ها، شکستگی ها، مرز لیتلولژی و یا شبکه زه کشی می باشند. بنابراین برای استخراج شکستگی ها باید شرایط منطقه و شناخت خصوصیات ساختاری آن را در نظر گرفت تا بتوان از بین خطواره های مختلف، شکستگی ها را استخراج کرد. در این مقاله برای کاهش خطأ و بالا بردن دقت کار شکستگی ها، خطواره های اتوماتیک منطبق بر شکستگی ها، به صورت نظارت شده از روی تصویر ماهواره ای ایکونوس و با کمک افزونه Arcbrutile در ArcGIS تصحیح شدند. چگالی تقاطع و طول شکستگی ها نمایانگر بیشترین مقادیر در جنوب شرق ناودیس می باشد. یال جنوب غربی ناودیس نسبت به یال شمال شرقی آن تراکم شکستگی بیشتری نشان می دهد. حداکثر مقادیر چگالی طول شکستگی ها و چگالی تقاطع شکستگی ها در دو منطقه در جنوب شرق ناودیس، یکی در محل راندگی آبراک و در



شکل ۳. لایه‌های مورداستفاده جهت پتانسیل‌بایی آب زیرزمینی ناوdis نعل اسی ایده. (الف) نقشه شکستگی‌ها و تقاطع آنها بر روی تصویر ماهواره‌ای، (ب) لایه فاصله از نقاط تخلیه، (ج) لایه اختلاف ارتفاع با محل تخلیه، (د) لایه شیب، (ه) لایه چگالی طول شکستگی‌ها، و) لایه چگالی تقاطع شکستگی‌ها.



شکل ۴. لایه‌های نرخ‌بندی شده و نقشه نهایی پتانسیل آب‌زیرزمینی ناودیس نعل‌اسبی ایذه. (الف) لایه طبقه‌بندی مجدد شیب، (ب) لایه طبقه‌بندی مجدد فاصله از نقاط تخلیه، (ج) لایه طبقه‌بندی مجدد اختلاف ارتفاع با محل تخلیه، (د) لایه طبقه‌بندی مجدد چگالی تناطع شکستگی‌ها، (ه) لایه طبقه‌بندی مجدد چگالی طول شکستگی‌ها، و (و) لایه نهایی شاخص پتانسیل آب‌زیرزمینی.



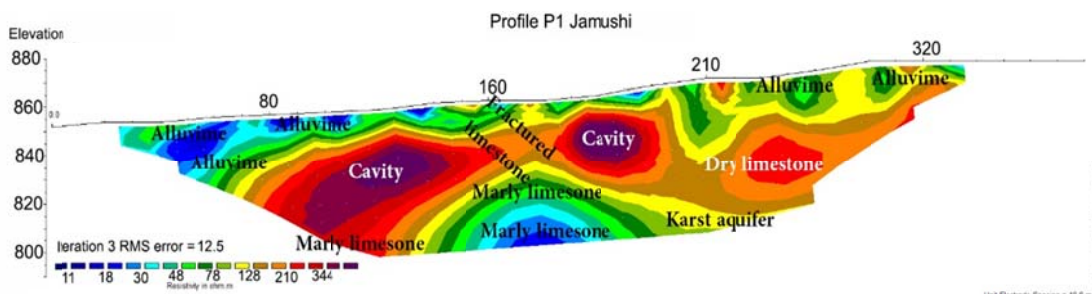
شکل ۵. نقشه طبقه‌بندی شده پتانسیل‌یابی آب زیرزمینی کارست ایذه و موقعیت پروفیل‌های دوقطبی-دوقطبی و سوندazهای ژئوالکتریک.

مذکور تا متراز ۱۴۰ متر بروی واریزه خردمنگ و مارنی قرار دارد. مقاومت ویژه آهک خشک بین ۲۰۰ تا ۳۰۰ اهم‌متر تغییر می‌نماید. ناهنجاری با مقاومت زیاد (حدود ۴۰۰ اهم‌متر) در مترازهای ۱۰۰ تا ۱۲۰ متری و ۱۸۰ تا ۲۰۰ متری وجود دارد که احتمالاً میان آهک کارستی حفره‌دار خشک می‌باشد. کاهش مقاومت ویژه از عمق حدود ۴۰ متری برخورد به آبخوان کارستی آهک آسماری را نشان می‌دهد. براساس مقطع ژئوالکتریک تفسیر شده بهترین نقطه جهت حفاری چاه آب در متراز ۲۲۰ متری توصیه می‌شود (شکل ۷ الف). در بخش میانی پروفیل و در عمق مقاومت ویژه الکتریکی به کمتر از ۳۰ اهم‌متر کاهش می‌باید که منطبق با لایه آهک مارنی مرطوب می‌باشد.

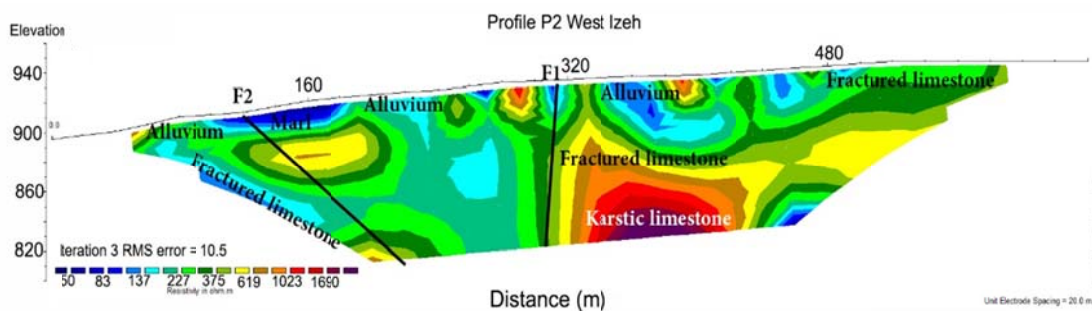
نتایج حاصل از توموگرافی مقاومت ویژه الکتریکی (ERT) مقاطع دوقطبی-دوقطبی در شکل ۶ و تفسیر لیتوژئوالکتریک آنها در شکل ۷ ارایه شده است. مقطع P1 به طول ۳۸۰ متر در یال غربی ناوديس نعل‌اسبی اينه داده‌برداری شده است به طوری که چاه آهکی آب شرب روستای جاموشی، واقع در یال غربی ناوديس نعل‌اسبی، در ۲۰۰ متری شمال غرب ابتدای پروفیل مذکور قرار دارد. مقاومت ویژه الکتریکی مقطع توموگرافی شده بین ۱۰ تا ۳۴۴ اهم‌متر متغیر می‌باشد (شکل ۶-الف). بر اساس داده‌های اندازه‌گیری شده سطح آب زیرزمینی در سال ۱۳۹۸، عمق سطح آب در این سایت بین ۴۰ تا ۵۰ متر متغیر می‌باشد. مقاومت ویژه الکتریکی مقطع توموگرافی شده بین ۱۰ تا ۴۰۰ اهم‌متر متغیر است. مقطع

F1 و F2، مقاومت ویژه الکتریکی بین ۱۰۰ تا ۲۰۰ اهم متر است که با افزایش عمق کاهش می‌یابد که احتمالاً نمایانگر لایه‌های عمقی آهک مارنی می‌باشد. در شرق گسل F1 و در بازه ۳۲۰ تا ۴۰۰ متری لایه‌های عمقی شامل آهک‌های کارستی با مقاومت ویژه الکتریکی بیش از ۱۲۰۰ اهم متر می‌باشد که به عنوان محل مناسب جهت حفاری چاه آب متراژ ۳۴۰ متر پیشنهاد شده است (شکل ۷-ب). با توجه به عمق نفوذ ۱۱۰ متری آرایه دوقطبی - دوقطبی، جهت اطمینان از پیشنهاد محل مناسب برای حفاری اقدام به سوندایزرنی شلومبرژه شد. سوندایزرهای شلومبرژه برداشت شده، وجود آب زیرزمینی غنی کارستی در محل پیشنهادی را تأیید کرده است (شکل ۸). در مقطع مذکور ضخامت واریزه خردمنگ و مارنی کمتر از ۱۰ متر می‌باشد.

مقطع P2 به طول ۶۴۰ متر در یال شمال شرقی تاقدیس چال خشک در سایت غرب ایذه داده‌برداری شده است. مقاومت ویژه الکتریکی مقطع توموگرافی شده بین ۱۰ تا ۲۰۰۰ اهم متر متغیر می‌باشد (شکل ۶-ب). بر اساس داده‌های اندازه‌گیری شده سطح آب زیرزمینی در سال ۱۳۹۸، عمق سطح آب در این سایت بین ۸۰ تا ۱۰۰ متر متغیر می‌باشد. در مقطع توموگرافی آرایه دوقطبی - دوقطبی دامنه مقاومت ویژه الکتریکی بین ۱۰ تا ۲۰۰۰ اهم متر متغیر می‌باشد. در مقطع توموگرافی آرایه دوقطبی - دوقطبی احتمالی F1 و F2 تشخیص داده شده که با تغییرات شدید و ناگهانی در توموگرام مقاومت ویژه الکتریکی خود را نشان می‌دهند. در غرب گسل F1 و به موازات گسل زون با مقاومت ویژه الکتریکی حدود ۱۰۰ اهم متر وجود دارد که احتمالاً آهک خردمنگ می‌باشد. در بازه بین گسل‌های

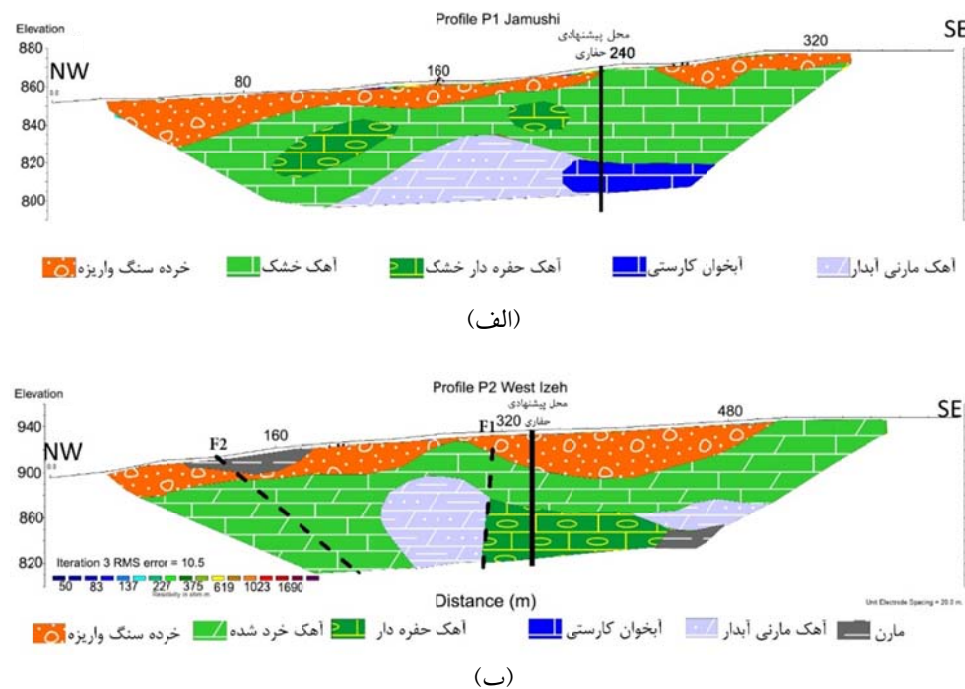


(الف)

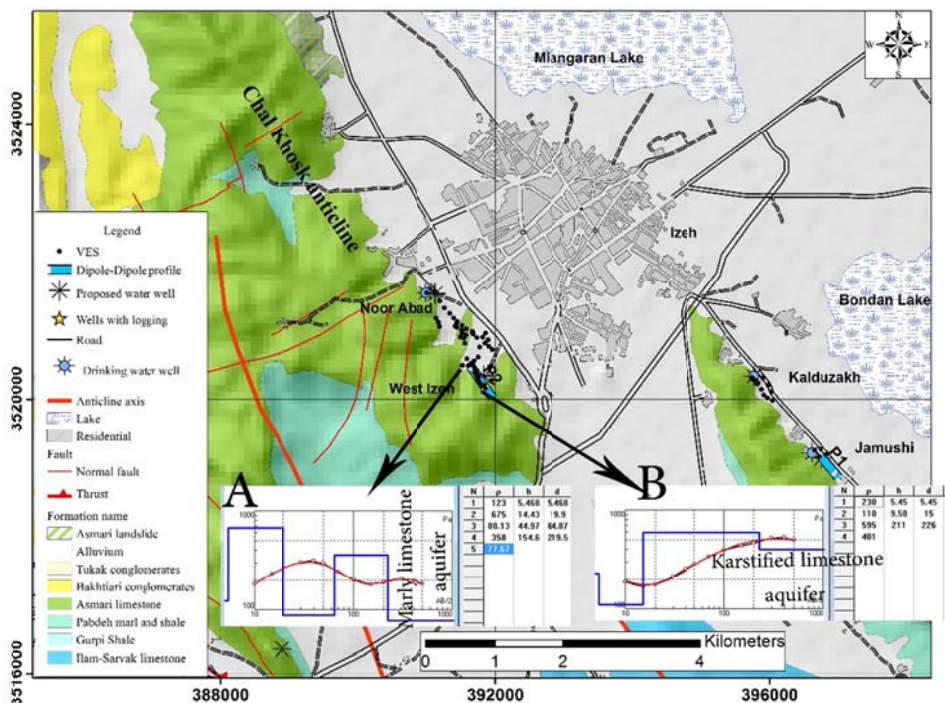


(ب)

شکل ۶. مقطع ERT پروفیل‌های دوقطبی-دوقطبی اینه. (الف) پروفیل P1 در سایت جاموشی (ناودیس نعل اسبی) و (ب) پروفیل P2 در سایت غرب ایذه.



شکل ۷. مقاطع لیتوژوئی تفسیر شده براساس توموگرافی پروفیل های درقطبی-دوقطبی (الف) پروفیل P1 در سایت جاموشی (ناودیس نعل اسپی) و (ب) پروفیل P2 در سایت غرب ایده.



شکل ۸. تفسیر سوندازهای شلوغبرزه تأیید کننده نتایج توموگرافی مقاومت ویژه در سایت غرب ایده، (A) سونداز ابتدای پروفیل نمایانگر لایه آهک مارنی آبدار با مقاومت ویژه الکتریکی ۷۷ اهمتر و عمق برخورد به آب ۱۰۹ متری، (B) سونداز منطبق با متراز ۳۴۰ متری پروفیل P1 نمایانگر برخورد به آبخوان کارستی با مقاومت ویژه الکتریکی ۴۰۱ اهمتر و عمق برخورد به آب ۱۱۳ متری.

حفاری چاههای آب آهکی نیاز است تا از برداشت‌های ژئوالکتریکی (مقاومت‌ویژه الکتریکی و قطبش القایی) بهمنظور واسنجی نقشه‌ها و تعیین نقطه دقیق حفاری استفاده شود.

یکی از مهم‌ترین عوامل برای تعیین قابل‌اعتماد بودن نقشه‌های پتانسیل آب‌زیرزمینی، کیفیت و مقیاس لایه‌های اطلاعاتی می‌باشد. در این روش‌ها لایه‌های اطلاعاتی از ۴ یا ۵ لایه اصلی تا بیش از ۱۰ تا ۱۲ لایه متغیر است. تفکیک‌پذیری لایه‌های اطلاعاتی و عدم قطعیت ذاتی در استخراج لایه‌ها بسیار متغیر است. بدین‌منظور با استفاده از طبقه‌بندی مجدد (Reclassification) می‌توان لایه‌های اطلاعاتی با تفکیک‌پذیری ریز و درشت را با یکدیگر ترکیب کرد (مناپ و همکاران، ۲۰۱۳؛ بیش، ۲۰۱۷؛ داشو و همکاران، ۲۰۱۷؛ جهان و همکاران، ۲۰۱۸). این روش ساده‌سازی اغلب غیر قابل‌اجتناب و گاهی لازم است. به‌هرحال در پتانسیل‌یابی آب‌زیرزمینی در مقیاس منطقه‌ای، عدم صحت محلی داده‌ها می‌تواند از ترکیب لایه‌های با مقیاس مختلف حاصل شود. هرچند که در نواحی آبرفتی مناطق هموار با شبکه زه کشی توسعه ضعیف نسبت به مناطق شیب‌دار پتانسیل آب‌زیرزمینی بیشتری دارند (حقی زاده و همکاران، ۲۰۱۷؛ مارتین-لوشز و همکاران، ۲۰۱۸)، ولی در مناطق آهک لایه‌های شیب‌دار متأثر از نیروهای تکتونیکی دارای خردش‌گی بیشتر و بالطبع پتانسیل کارست‌شدگی و آب‌زیرزمینی زیادتری هستند. در این قبیل موارد می‌بایست نقشه‌های پتانسیل آب‌زیرزمینی به عنوان ابزاری جهت بهینه‌سازی کارهای میدانی اکتشافی همانند ژئوفیزیک به‌ویژه در مقیاس محلی مورد استفاده قرار گیرند (ابدالا، ۲۰۱۲؛ محمدی و همکاران، ۲۰۱۴؛ مندل و همکاران، ۲۰۱۶).

در مرحله تعیین محل‌های مناسب جهت حفاری چاههای آهکی، می‌توان از روش‌های ژئوالکتریک به‌ویژه توموگرافی مقاومت‌ویژه الکتریکی یا ERT در مناطقی که پتانسیل بیشتری دارند استفاده کرد. بر اساس نتایج توموگرافی ژئوالکتریک در آهک آسماری اینده،

براساس یافته‌های حاصل از این مطالعه درنهایت دو نقطه در سایت‌های جاموشی و غرب اینده جهت حفاری چاه آب آهکی پیشنهاد شد. حفاری چاه غرب اینده در پاییز ۱۳۹۸ تا عمق نهایی ۲۷۲ متر حفاری انجام شد که در عمق ۱۱۰ متری به آب رسید. در طی حفاری چاه غرب اینده مطابق با نتایج ژئوفیزیک از عمق ۴۵ متری با برخورد به حفره دیگر برگشت مواد خردشده حفاری (Cutting) به سطح رخ نداده است. در خاتمه حفاری سطح آب‌زیرزمینی در چاه در عمق ۷۰ متری قرار گرفته است. بر اساس اطلاعات پمپاژ چاه مذکور، آبدیهی چاه بین ۴۷ تا ۶۱ لیتر در ثانیه با افت حداقل ۰/۴۸ متر و برگشت سریع سطح آب در طی ۲۰ دقیقه پس از خاموش کردن پمپ (بیانگر آبدیهی عالی) می‌باشد.

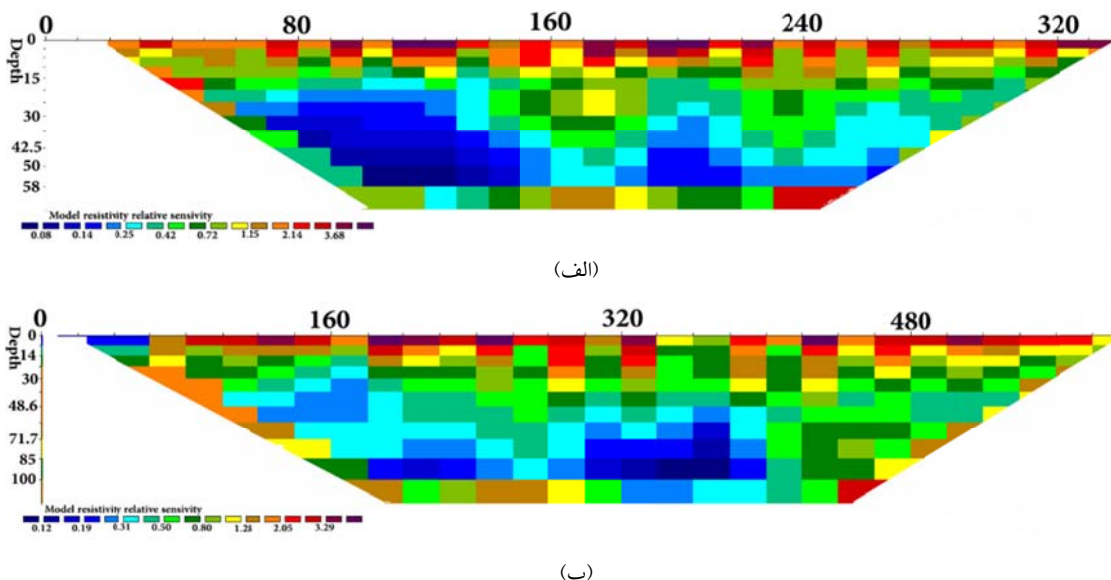
#### ۴. بحث

نقشه پتانسیل آب‌زیرزمینی بهمنظور تعیین مناطق مستعد جهت توسعه بهره‌برداری آب‌زیرزمینی به‌ویژه در مناطق کارستی به کار گرفته می‌شود. بدین‌منظور می‌بایست اطلاعات دقیق زمین‌شناسی و هیدرولوژی براساس نقشه‌ها و تصاویر ماهواره‌ای در محیط GIS بهصورت لایه‌های معیار مختلف تلفیق شوند. با توجه به پیچیدگی‌ها و عدم قطعیت موجود در نرخ‌بندی و وزن‌دهی لایه‌ها، این نقشه‌ها اغلب بهصورت نقشه‌های رنگی با مقیاس نسبی متغیر از خیلی کم (Very low) تا بسیار زیاد (Very High) ارایه می‌شوند. نقشه‌های پتانسیل آب‌زیرزمینی بر اساس داده‌های کمی به‌دست می‌آیند. یکی از محدودیت‌های مطالعات پتانسیل‌یابی آب‌زیرزمینی عدم وجود اعتبارسنجی (Validation) می‌باشد. برطبق نظر دیاز-آلکید و مارتینز-سانتورز (۲۰۱۹) بیش از ۷۰ درصد مطالعات پتانسیل‌یابی آب‌زیرزمینی فاقد سازوکار مستحکم اعتبارسنجی می‌باشند که البته در مطالعات مقدماتی و شناخت به‌ویژه در مناطق فاقد اطلاعات هیدرولوژی قبل‌پذیرش می‌باشد (دیاز-آلکید و مارتینز-سانتورز، ۲۰۱۹). بهر حال جهت استفاده کاربردی از نتایج این مطالعه در تعیین محل

Res2Dinv، پارامتر اصلی مقاومت ویژه الکتریکی می‌باشد.

ارتباط بین پارامترهای مدل و پاسخ مدل به صورت مقطع دو بعدی مقاومت ویژه الکتریکی با روش المان محدود برای توموگرافی کارست ایده مشخص شده است. روش در نظر گرفته شده برای هموارسازی داده‌ها روش مارکوارت-لونبرگ (Marquardt-Levenberg) می‌باشد که عملاً بهترین نتیجه را برای ساختارهای فشرده، در محلهایی که عرض و ضخامت کمتر از عمق باشد، بهویژه در نواحی کارستی، به دست می‌دهد. محیط ساختار زیرسطحی در Res2Dinv توسط شبکه‌بندی به یک سری سلول‌های مستطیلی تقسیم می‌شود که موقعیت سلول‌ها ثابت بوده و در طی فرآیند وارونسازی منحصرآ مقادیر مقاومت ویژه الکتریکی و قطبش القایی سلول‌ها تغییر می‌نماید. تغییر ناگهانی لیتوژئی یا برخورد به حفره یا غار در آهک توسط تفکیک‌پذیری سلول‌ها و با حالت تدریجی تغییر مقاومت ویژه الکتریکی مشخص می‌شود. مقاطع حساسیت مدل‌سازی آرایه دوقطبی در دو سایت ایده در شکل ۹ نشان داده شده است.

مقاومت ویژه الکتریکی زیاد (بین ۲۰۰ تا ۱۰۰۰ اهم متر) بیانگر آهک خشک می‌باشد که در هنگام وجود آب در آنها مقاومت ویژه الکتریکی (تا حدود ۱۵۰-۵۰ اهم متر) کاهش می‌یابد. حفرات خشک با بی‌هنگاری مقاومت ویژه الکتریکی در پروفیل جاموشی با مقاومت ویژه الکتریکی حدود ۴۰۰ اهم متر و در سایت غرب ایده با مقاومت ویژه الکتریکی بسیار زیاد (۱۵۰۰ تا بیش از ۲۰۰۰ اهم متر) در زمینه آهکی قابل تشخیص است. لایه‌های مارنی و آهک مارنی با نفوذپذیری کم، می‌توانند با مقاومت ویژه الکتریکی بسیار کم (کمتر از ۲۰ اهم متر) از لایه‌های آهک آب‌دار (حدود ۱۰۰ تا ۲۰۰ اهم متر) تشخیص داده شوند. یکی از مسائل موجود در توموگرافی ژئوالکتریک و مدل‌سازی معکوس داده‌ها، حساسیت مقاطع توموگرافی می‌باشد. در وارونسازی داده‌های ژئوالکتریک، در واقع هدف یافتن مقطعی از زمین می‌باشد که پاسخی مشابه با مقادیر اندازه گیری شده به دست دهد. در واقع مقطع لیتوژئی زمین براساس یک مدل ایده‌آل ریاضی از داده‌های ژئوالکتریک تبیین می‌شود. پاسخ مدل، داده‌های مصنوعی مربوط به پارامترهای انتخابی مدل می‌باشد که از روابط ریاضی حاکم بر مدل تولید می‌شوند. در



شکل ۹. مقاطع حساسیت نسبی مقاطع توموگرافی دوقطبی-دوقطبی (الف) پروفیل P1 در سایت جاموشی (ناودیس نعل اسپی) و (ب) پروفیل P2 در سایت غرب ایده.

مقاومت‌ویژه الکتریکی حدود ۴۰۰ اهم‌متر و در سایت غرب اینده با مقاومت‌ویژه الکتریکی بسیار زیاد (۱۵۰۰) تا بیش از ۲۰۰۰ اهم‌متر) در زمینه آهکی قابل تشخیص است. لایه‌های مارنی و آهک مارنی با نفوذپذیری کم، می‌توانند با مقاومت‌ویژه الکتریکی بسیار کم (کمتر از ۲۰ اهم‌متر) از لایه‌های آهک آب‌دار (حدود ۱۰۰ تا ۲۰۰ اهم‌متر) تشخیص داده شوند. براساس مقاطع ژئوالکتریک حاصل از تفسیر توموگرافی مقاومت‌ویژه الکتریکی در نهایت دو نقطه در سایت‌های جاموشی و غرب اینده جهت حفاری چاه آب آهکی پیشنهاد شد که حفاری یک حلقه چاه آب با موفقیت در پاییز ۱۳۹۸ در سایت غرب اینده انجام شد.

برای دست‌یابی نتایج مطلوب اکتشافات آب‌زیرزمینی در مناطق کارستی، پتانسیل‌یابی آب‌های زیرزمینی همراه با کارهای میدانی ژئوالکتریک می‌تواند با هزینه کم به کار گرفته شود. کاربرد فنون سنجش از دور و GIS با تلفیق قدرت یادگیری رایانه‌ای همراه با قضایت کارشناسی در اکتشاف آب‌های زیرزمینی بسیار زیاد است. کیفیت اطمینان از نتایج پتانسیل‌یابی آب‌زیرزمینی کارستی بر اساس تلفیق معیارها، می‌تواند با استفاده از روش‌های اکتشافی ژئوالکتریک مورد واسنجی قرار گیرد.

#### مراجع

اسدی، ع.، پورکرمانی، م. و قلمکاری، س.، ۱۳۹۸، ارزیابی و اکتشاف منابع آب‌زیرزمینی با شناسایی ساختار لایه‌ای زمین با استفاده از روش زمین الکتریسیته در دشت رونیز؛ غرب استهبان، نشریه مهندسی منابع آب، ۴۰، ۳۹-۴۹.

حفیظی، م.ک. و رادان، م.ی.، ۱۳۸۶، وارون‌سازی ترکیبی داده‌های مقاومت‌ویژه با آرایه‌های شلومبرژه و دوقطبی - دوقطبی به‌منظور تعیین مسیر درز و شکافهای آب‌دار، مجله فیزیک زمین و فضا، (۲)، ۶۹، ۳۳-۷.

کلاتری، ن.، علیجانی، ا.، علیجانی، ف. و دانشیان، ح.، ۱۳۹۸، بررسی تغییرات متفاوت سطح آب‌زیرزمینی با

در هردو سایت آرایه حساسیت مدل‌های توموگرافی از سطح به عمق کاهش می‌یابد. حساسیت نسبی مدل‌ها در بخش بالایی مقطع بیشتر می‌باشد و با افزایش عمق از میزان حساسیت مدل کاسته می‌شود. احتمالاً این به دلیل تغییرات شدید مقاومت‌ویژه سطحی و روند تدریجی تغییر مقاومت در عمق می‌باشد.

#### ۵. نتیجه‌گیری

این مقاله یک روش بهروز تلفیقی پتانسیل‌یابی آب‌زیرزمینی با استفاده از RS/GIS و توموگرافی مقاومت‌ویژه الکتریکی (ERT) را برای تعیین محل حفاری چاه آب در آهک آسماری اینده ارایه می‌دهد. از میان لایه‌های مختلفی که بتوان در پتانسیل آب‌زیرزمینی مناطق کارستی استفاده کرد لایه‌های فاصله از محل تخلیه، اختلاف ارتفاع با محل تخلیه، چگالی تقاطع شکستگی‌ها، چگالی طول شکستگی‌ها، و شبیه‌ترتیب اهمیت قرار دارند. با توجه به قابلیت استفاده گسترده تکنیک‌های RS/GIS، از این روش‌ها برای استخراج لایه‌های اطلاعاتی مورد نیاز در منطقه اینده استفاده شد. تراکم بیشتر چگالی تقاطع و طول شکستگی‌ها و شبیه بیشتر با اهمیت بیشتر نرخ‌بندی شد. اختلاف ارتفاع کمتر و فاصله کمتر با محل تخلیه با اهمیت بیشتر بر پتانسیل آب‌زیرزمینی نهایی، مناطق با پتانسیل خیلی زیاد در یال غربی و جنوب شرق ناویدیس در امتداد راندگی آبرآک مشخص شدند. تمرکز چاه‌های آهکی آب شرب اینده در یال جنوب‌غربی نیز مؤید صحت نتایج پتانسیل‌یابی می‌باشد. در ادامه در نقاط با پتانسیل زیاد توموگرافی مقاومت‌ویژه الکتریکی به‌منظور تعیین محل دقیق حفاری چاه‌های آب در دو پروفیل انجام شد. بر اساس نتایج توموگرافی ژئوالکتریک در آهک آسماری اینده، مقاومت‌ویژه الکتریکی زیاد (بین ۲۰۰ تا ۱۰۰۰ اهم‌متر) بیانگر آهک خشک می‌باشد که در هنگام وجود آب در آنها مقاومت‌ویژه الکتریکی (تا حدود ۱۵۰-۵۰ اهم‌متر) کاهش می‌یابد. حفرات خشک با بی‌亨جاری مقاومت‌ویژه الکتریکی در پروفیل جاموشی با

توموگرافی مقاومت ویژه الکتریکی دوبعدی در اکتشاف آب‌های زیرزمینی برای اعماق زیاد: مطالعه مورد دشت نوق رفسنجان، اولین کنفرانس ملی فناوری‌های معدن‌کاری ایران، یزد.

- Abdalla, F., 2012, Mapping of groundwater prospective zones using remote sensing and GIS techniques: a case study from the central Eastern Desert, Egypt, *Journal of African Earth Sciences*, 70, 8–17.
- Abrams, W., Ghoneim, E., Shew, R., LaMaskin, T., Al-Bloushi, K., Hussein, S., AbuBakr, M., Al-Mulla, E., Al-Awar, M. and El-Baz, F., 2018, Delineation of groundwater potential (GWP) in the northern United Arab Emirates and Oman using geospatial technologies in conjunction with simple additive weight (SAW), analytical hierarchy process (AHP), and probabilistic frequency ratio (PFR) techniques, *Journal of Arid Environment*, <https://doi.org/10.1016/j.jaridenv.2018.05.005>.
- Alile, O. M., Ujuanbi, O. and Ebvbuomwan, I. A., 2010, Geoelectric investigation of groundwater in Obaretin Iyanomon Locality, Edostate, Nigeria, *Geology and Mining Research*, 3(1), 13-20.
- Bashe, B. B., 2017, Groundwater potential mapping using remote sensing and GIS in Rift Valley Lakes Basin, Weito Sub Basin, Ethiopia, *International Journal of Science and Engineering Researches*, 8(2), 43–51.
- Berry, J. K., 1993, Cartographic modeling: The analytical capabilities of GIS, In: Goodchild M, Parks B and Steyaert L (eds) *Environmental Modeling with GIS*, Oxford, Oxford University Press, 58-74.
- Bharti, R., 2016, The vertical electrical sounding (VES) procedure to delineate potential groundwater aquifer in Guna Madhya Pradesh, *Imperial Journal of Interdisciplinary Research*, 24, 253–256.
- Chalikakis, K., Plagnes, V., Guerin, R., Valois, R. and Bosch, F. P., 2011, Contribution of geophysical methods to karst-system exploration: an overview, *Hydrogeology Journal*, 19(6), 1169–1180.
- Dahlin, T., 1996, 2D resistivity surveying for environmental and engineering application, *First Break*, 14, 275-283.
- Dasho, O. A., Ariyibi, E. A., Akinluyi, F. O., Awoyemi, M. O. and Adebayo A. S., 2017, Application of satellite remote sensing to groundwater potential modeling in Ejigbo area, southwestern Nigeria, *Modeling Earth System Environment*, 3, 615–633.
- Díaz-Alcaide, S. and Martínez-Santos, P., 2019, Review: Advances in groundwater potential mapping, *Hydrogeology Journal*, doi:10.1007/s10040-019-02001-3.
- Elbeih, S. F., 2015, An overview of integrated remote sensing and GIS for groundwater mapping in Egypt, *Ain Shams Engineering Journal*, 6, 1–15.
- Gupta, G., Patil, J. D., Maiti, S., Erram, V. C., Pawar, N. J., Mahajan, S. H. and Suryawanshi, R. A., 2015, Electrical resistivity imaging for aquifer mapping over Chikotra basin, Kolhapur district, Maharashtra, *Environmental Earth Sciences*, 73(12), 8125–8143.
- Haghizadeh, A., Moghaddam, D. D. and Pourghasemii, H. R., 2017, GIS-based bivariate statistical techniques for groundwater potential analysis (an example of Iran), *Journal of Earth System Sciences*, 126:109. doi.org/10.1007/s12040-017-0888-x.
- Herzfeld, U. C. and Merriam, D. F., 1995, Optimization techniques for integrating spatial data, *Mathematical Geology* 27, 559–586.
- Jahan, C. S., Rahaman, M. F., Arefin, R., Ali, M. S. and Mazumder, Q. H., 2018, Delineation of groundwater potential zones of Atrai–Sib river basin in north-west Bangladesh using remote sensing and GIS technique, *Sustainable Water Resources Management*, doi.org/10.1007/s40899-018-0240-x.
- Jaiswal, R. K., Mukherjee, S., Krishnamurthy, J. and Saxena, R., 2003, Role of remote sensing and GIS techniques for generation of groundwater prospect zones towards rural development: an approach, *International Journal of Remote Sensing*, 24(5), 993–1008.
- Llamas, M. R. and Martínez-Santos, P., 2005, Intensive groundwater use: silent revolution and potential source of social conflict, *Journal of Water Resources Planning Management* 131(5), 337–341.
- Loke, M. H. and Barker, R. D., 1995, Least-squares deconvolution of apparent resistivity pseudosections, *Geophysics*, 60(6), 1682–1690.
- Lowry Jr., J. H., Miller, H. J. and Hepner, G. F., 1995, A GIS-based sensitivity analysis of community vulnerability to hazardous contaminations on the Mexico/U.S. Border. *Photogrammetric Engineering and Remote Sensing*, 61, 1347-1359.
- Malczewski, J. 2000, On the Use of Weighted Linear Combination Method in GIS: Common and Best Practice Approaches, *Transactions in*

- GIS, 4(1), 5–22.
- Manap, M. A., Sulaiman, W. N. A., Ramli, M. F., Pradhan, B. and Surip, N., 2013, A knowledge-driven GIS modeling technique for groundwater potential mapping at the upper Langat Basin, Malaysia, *Arabian Journal of Geoscience*, 6, 1621–1637.
- Mandal, U., Sahoo, S., Munusamy, S. B., Dhar, A., Panda, S. N., Kar, A. and Mishra, P. K., 2016, Delineation of groundwater potential zones of coastal Groundwater Basin using multi-criteria decision making technique, *Water Resources Management*, 30, 4293–4310.
- Martín-Lloeches, M., Reyes-López, J., Ramírez-Hernández, J., Temiño-Velan, J. and Martínez-Santos, P., 2018, Comparison of RS/GIS analysis with classic mapping approaches for siting low-yield boreholes for hand pumps in crystalline terrains: an application to rural communities of the Caimbambo province, Angola, *Journal of African Earth Sciences*, 138, 22–31.
- Metwaly, M., Elawadi, E., Moustafal, S. R., Al Fouzan, F., Mogren, S. and Al Arifi, N., 2012, Groundwater exploration using geoelectrical resistivity technique at Al-Quwy'ya area Central Saudi Arabia, *International Journal of the Physical Sciences*, 7(2), 317–326.
- Mohammadi, Z., Alijani, F. and Rangzan, K. 2014, DEFLOGIC: a method for assessment of groundwater potential in karst terrains: Gurpi anticline, southwest Iran, *Arabian Journal of Geoscience*, 7, 3639–3655.
- Mohammadi-Behzad, H. R., Charchi, A., Kalantari, N., Nejad, A. M. and Vardanjani, H. K., 2018. Delineation of groundwater potential zones using remote sensing (RS), geographical information system (GIS) and analytic hierarchy process (AHP) techniques: a case study in the Leylia–Keynow watershed, southwest of Iran, *Carbonates and Evaporites*, <https://doi.org/10.1007/s13146-018-0420-7>.
- Oikonomidis, D., Dimogianni, S., Kazakis, N. and Voudouris, K., 2015, A GIS/remote sensing-based methodology for groundwater potentiality assessment in Tirnavos area, Greece, *Journal of Hydrology*, 525, 197–208.
- Oldenburg, D. W. and Li, Y. G., 1999, Estimating depth of investigation in DC resistivity and IP surveys, *Geophysics*, 64, 403–416.
- Panahi, M. R., Mousavi, S. M. and Rahimzadegan, M., 2017, Delineation of groundwater potential zones using remote sensing, GIS and AHP technique in Tehran-Karaj plain, Iran, *Environmental Earth Science* 76(79.), <https://doi.org/10.1007/s12665-017-7126-3>.
- Parks, S., Byrnes, J., Abdelsalam, M. G., Dávila, D. A. L., Atekwana, E. A. and Atya, M. A., 2017, Assessing groundwater accessibility in the Kharga Basin, Egypt: a remote sensing approach, *Journal of African Earth Sciences*, 136, 272–281.
- Patra, S., Mishra, P. and Mahapatra, S. C., 2018, Delineation of groundwater potential zone for sustainable development: a case study from Ganga alluvial plain covering Hooghly district of India using remote sensing, geographic information system and analytic hierarchy process, *Journal of Clean Production*, 172, 2485–2502.
- Prasad, R. K., Mondal, N. C., Banerjee, P., Nandakumar, M. V. and Singh, V. S., 2008, Deciphering potential groundwater zone in hard rock through the application of GIS, *Environmental Geology*, 55(3), 467–475.
- Prins, C., Thuro, K. and Krautblatter, M., 2018, The effectiveness of an inverse Wenner-Schlumberger array for geoelectrical karst reconnaissance, on the Swabian Alb High Plain, New Line Wendlingen–Ulm, Southwestern Germany, IAEG/AEG Annual Meeting Proceedings, San Francisco, California, 3, 115–122.
- Rolia, E. and Sutjiningsih, D., 2018, Application of geoelectric method for groundwater exploration from surface (A literature study), In: AIP Conference Proceedings, doi:10.1063/1.5042874.
- Samanovac, F. and Alvanja, S. D., 2007, Determination of resolution limits of electrical tomography on the block model in a homogenous environment by means of electrical modeling, *Rudarsko Geološko Naftni Zbornik*, 19(1), 47–56.
- Sander, P., Chesley, M. M. and Minor, T. B., 1996, Groundwater assessment using RS and GIS in a rural groundwater project in Ghana: lessons learned, *Hydrogeology Journal*, 4, 40–49.
- Saribudaka, M. and Hawkins, A., 2019, Hydrogeophysical characterization of the Haby Crossing fault, San Antonio, Texas, USA, *Journal of Applied Geophysics*, doi.org/10.1016/j.jappgeo.2019.01.009.
- Zhou, W., Beck, B. F. and Stephenson, J. B., 2000, Reliability of dipole-dipole electrical resistivity tomography for defining depth to bedrock in covered karst terranes, *Environmental Geology*, 39, 760–766.

## Exploration of Karst Groundwater using Electrical Resistivity Tomography and Remote Sensing, North East Khuzestan

Mirzaei, L.<sup>1</sup>, Hafizi, M. K.<sup>2\*</sup> and Riahi, M. A.<sup>2</sup>

1. M.Sc. Student, Department of Earth Physics, Institute of Geophysics, University of Tehran, Tehran, Iran

2. Professor, Department of Earth Physics, Institute of Geophysics, University of Tehran, Tehran, Iran

(Received: 8 Jan 2020, Accepted: 9 June 2020)

### Summary

Groundwater is the largest available freshwater resource in the world. Aquifers provide drinking water to at least 50% of the global population, and account for 43% of all water used for irrigation. Groundwater resources can be expected to be increasingly relied upon, in the near future, as a consequence of rapid population growth and global environmental change. Cost-effective and efficient techniques for groundwater exploration, especially in karstic regions, can be used to as an appropriate tool to recognition of karst hydrogeological potential.

This paper provides a method based on the RS/GIS for the recognition of high groundwater potential areas and geoelectrical tomography for precise determination of the water well drilling location. Groundwater mapping has been defined as a tool for systematic development and planning of water resources (Elbeih, 2015). Hydrogeological maps provide spatially distributed information about aquifers, including their geological, hydrogeological and hydrochemical characteristics .

In this study, a hydro-tectonic model include effective layers on karst hydrogeology applied for the recognition of the high groundwater potential in karstic areas of Izeh, northeast Khuzestan. The combination of remote sensing and GIS used to overlay the major layers, i.e. distance from discharge point, elevation difference, fracture density, slope, and fracture intersection density. Generally, high altitude regions have a low groundwater potential and more groundwater can be found at lower altitudes; therefore, the altitude map generated from the DEM represents difference to known elevation of the discharge points. The areas away from the discharge point generally have lower probability of groundwater occurrence. The distance analysis in GIS was used to determine the map of distance from discharge point. Slope angle can be considered as a surrogate of surface runoff velocity and vertical percolation which affects recharge processes. However, in this study, the slope angle was considered as a positive factors on groundwater potential in the karstic areas. Geological fractures can have a significant effect on storage and flow of groundwater reservoirs. Especially in areas with shallow bedrock fractures, water infiltration can be enhanced due to increased porosity and hydraulic conductivity (Rao et al. 2001). The fracture locations in the study area were determined from the remote sensing techniques. The parameter are weighted from 1 to 5 based on their importance in karst hydrogeology.

For the exact determination of the water well drilling locations in high groundwater potential areas, the geoelectrical operation is done in two profiles using Dipole-Dipole array followed by electrical resistivity tomography. Over 20 boreholes have been drilled in karstic aquifer of Izeh for supplying the residence with drinking water. Despite the common use of geology for improving the siting of boreholes, some of the drilled holes does not deliver enough water to be equipped. The ERT method is used to determine the electrical resistivity distribution of the subsurface. Resistivity of the limestone rocks is linked to several parameters including type of limestone, cavity, water content, marl layer, electrical conductivity of water and the layer thickness. Because of different respective electrical resistivities in karstic areas, the ERT method provides useful results on the geometry of bedrock and aquifer. In an ERT survey, after inversion of the field data, the method provided a two-dimensional (2D) resistivity model of a section of the underground. Field data processing was performed with RES2DINV software. The parameters used in the inversion were the same for both of profiles, and topography was taken to normalize profile elevations to the actual ground surface. A robust algorithm was chosen for the inversion, because it provides more net changes in resistivity between different parts of the section. However, care must be taken when studying the final sections, because the geometry and boundaries of the structures are not always clearly identified and may be influenced by changes in resistivity due to rocks outside the plane of the section. The interpreted sections must be understood as an indication of the approximate location of the lithological boundaries, and not as its true geometry. The interpretation of the resistivity sections for all the ERT profiles has been drawn with the help of the correlation between the resistivity and the lithology along with the hydrogeologic data, and taking into account the continuity of the resistivity values at the crossing of the profiles. Overall, a very complicated structure is interpreted with the presence of dry and wet limestones, cavities, and marly layers interbedded with carbonates. Finally, two locations were proposed for drilling of water wells in the Izeh karstic area .

The drilling of a high yield water well (discharge of 61 L/S) and the low drawdown (0.48 m) in the karst of west Izeh at autumn 2019 indicates the effectiveness of the integration of the applied exploration methods. This work shows the power of geoelectrical method in poorly understood and tectonically complex areas in addition to the RS/GIS groundwater potential mapping to evaluate karst hydrogeology.

**Keywords:** Groundwater Exploration, Karst, Electrical Resistivity Tomography, Remote Sensing, Khuzestan.

\* Corresponding author:

hafizi@ut.ac.ir